

## ТЕРМОПРУЖНА ПОВЕДІНКА ПОДАТЛИВОЇ ДО ЗСУВІВ НЕСКІНЧЕННО ДОВГОЇ ЦИЛІНДРИЧНОЇ ОБОЛОНКИ ПІД ДІЄЮ ДЖЕРЕЛ ТЕПЛА ЗМІННОЇ ПОТУЖНОСТІ

Розв'язано квазістатичну задачу термопружності для нескінченно довгої циліндричної оболонки, що виготовлена з наділеного низькою зсувною жорсткістю матеріалу. Оболонка зазнає дії локальних теплових джерел змінної у часі потужності. Здійснено числовий аналіз температурних полів, кільцевих зусиль і осьових моментів для ряду важливих у практичних застосуваннях режимів нагрівання оболонки.

**Ключові слова:** циліндрична оболонка, режими нагрівання, температурне поле, гіпотеза Тимошенка, прогини, зусилля, критичні значення часу.

Розглянемо процес осесиметричного нагрівання податливої до зсувів нескінченно довгої циліндричної оболонки радіуса  $R$  з товщиною стінки  $2h$  локальними джерелами тепла змінної у часі потужності, які діють в області кільця  $x \in [0, x_0]$  і породжують згасаюче на нескінченності ( $x \rightarrow \infty$ ) температурне поле  $T(x, t)$ , що описується рівнянням теплопровідності [2]

$$\frac{\partial^2 T(x, t)}{\partial x^2} - \frac{\partial T(x, t)}{\partial t} - b^2 T(x, t) = - \frac{R^2}{a_t} Q(x, t), \quad (1)$$

де  $x$  – віднесена до радіуса оболонки  $R$  осьова координата;  $t$  – безрозмірний параметр часу;  $b^2 = \alpha R^2 / (a_t h)$ ,  $a_t$  – коефіцієнт теплопровідності матеріалу,  $\alpha$  – коефіцієнт тепловіддачі з поверхні оболонки;  $Q(x, t)$  – функція розподілу джерел тепла. Джерела тепла задаємо виразом

$$Q(x, t) = Q_0 q(x, x_0) \sum_{k=0}^m C_k^* q(t) + P_m(t) e^{-b_0^2 t} \delta \left( \frac{x}{R} \right),$$

де різниця одиничних ступінчастих [9] функцій

$$q(x, x_0) = q(x + x_0) - q(x - x_0)$$

визначає активну область нагрівання оболонки (область дії джерел в об'ємі кільця ширини  $2x_0$ ),  $P_m(t) = \sum_{k=0}^m C_k^* t^k$ ,  $b_0^2$  – параметр згасання джерел, а

$Q_0$ ,  $C_k^*$ ,  $C_m^*$  – задані величини, які характеризують початкову потужність теплових джерел і режим нагрівання оболонки.

Розглянемо декілька важливих режимів нагрівання.

I. Джерела тепла потужності  $Q_0$  вмикаються при  $t = 0$  і з часом згасають:

$$C_0^* = 0, \quad C_0^* = 1, \quad C_k^* = 0, \quad k = 1, 2, \dots, m,$$

$$Q(x, t) = Q_0 q(x, x_0) e^{-b_0^2 t}. \quad (2)$$

Зауважимо, що при  $b_0 \rightarrow 0$  цей розподіл наближається до розглянутого у роботі [3], де джерела діють у режимі ступінчастої функції одиничного стрибка. При  $b_0 \rightarrow \infty$  процес нагрівання оболонки не відбувається.

✉ nadia.ganulich@gmail.com

II. Потужність теплових джерел зростає від нульового значення у момент вмикання джерел ( $t = 0$ ) до максимального значення при  $t_{\max} = b_0^{-2}$  і з часом експоненційно спадає до нульового рівня:

$$C^* = C_0^* = 0, \quad C_1^* = 1, \quad C_k^* = 0, \quad k = 2, 3, \mathbf{K}, m,$$

$$Q(x, t) = Q_0 q(x, x_0) t e^{-b_0^2 t}, \quad b_0 \neq 0. \quad (3)$$

Очевидно, що при  $b_0 \neq 0$  потужність джерел, а отже, і температура, нескінченно зростають і оболонка з часом термічно руйнується. При  $b_0 = 0$  потужність теплових джерел спадає до нуля і оболонка не нагрівається.

III. Теплові джерела вмикаються у момент  $t = 0$  і діють із наростаючою потужністю від нульового її значення до максимального  $Q_0$  в усталеному режимі при  $t \neq 0$ :

$$C^* = 1, \quad C_0^* = -1, \quad C_k^* = 0, \quad k = 1, 2, \mathbf{K}, m,$$

$$Q(x, t) = Q_0 q(x, x_0) \frac{\partial}{\partial t} e^{-b_0^2 t}, \quad b_0 \neq 0. \quad (4)$$

При  $b_0 = 0$  оболонка не нагрівається, а зі збільшенням коефіцієнта затухання  $b_0$  ( $b_0 \neq 0$ ) процес наближається до зумовленого одиничною ступінчастою функцією режиму рівномірного нагрівання [3].

IV. Потужність джерел з часом спадає вдвічі від початкового значення  $2Q_0$  до  $Q_0$  при  $t \neq 0$ :

$$C^* = C_0^* = 1, \quad C_k^* = 0, \quad k = 1, 2, \mathbf{K}, m$$

$$Q(x, t) = Q_0 q(x, x_0) \frac{\partial}{\partial t} e^{-b_0^2 t} + e^{-b_0^2 t}, \quad b_0 \neq 0. \quad (5)$$

В асимптотичному режимі нагрівання оболонки при  $t \neq 0$  дії джерел (5) і (4) співпадають, а у випадках  $b_0 = 0$  і  $b_0 \neq 0$  процес відбувається в режимі ступінчастої функції (з подвоєною потужністю джерел при  $b_0 = 0$ ).

Для побудови збурених тепловими джерелами температурних полів до рівняння теплопровідності (1) застосуємо інтегральне перетворення Лапласа за часом при початковій умові  $T(x, 0) = 0$  і обмеженості температури при  $t \neq 0$ . Отримаємо звичайне диференціальне рівняння відносно зображення  $\mathcal{U}(x, p)$  (де  $p$  – параметр перетворення Лапласа):

$$\frac{d^2 \mathcal{U}(x, p)}{dx^2} - (p + b^2) \mathcal{U}(x, p) = - \frac{R^2}{a_t} \mathcal{Q}(x, p). \quad (6)$$

Оскільки для трансформанти Лапласа від функції одиничного стрибка  $q(t) \ll \frac{1}{p}$ , а для експоненти –  $e^{-b_0^2 t} \ll \frac{1}{p + b_0^2}$ , то згідно з теоремою про диференціювання зображень [1], якщо  $F(p)$  – образ функції-оригіналу  $f(t)$ , тобто, якщо  $f(t) \ll F(p)$ , то  $t^n f(t) \ll (-1)^n \frac{d^n F(p)}{dp^n}$ , отримуємо зображення Лапласа функцій розподілу джерел  $Q(x, t)$  (2)–(5) у загальному вигляді:

$$\mathcal{U}(x, p) = Q_0 q(x, x_0) \frac{\partial}{\partial p} + \sum_{k=0}^m \frac{C_k^* k!}{(p + b_0^2)^{k+1}} \frac{\partial}{\partial p}. \quad (7)$$

Оскільки функція  $q(x, x_0)$  є парною, то для ефективної побудови розв'язку рівняння (6) зручно використати косинус-перетворення Фур'є за  $x$ .

Підставивши у рівняння (6) косинус-перетворення Фур'є функції  $q(x, x_0)$ :

$$\sqrt{\frac{2}{p}} \int_0^{\infty} q(x, x_0) \cos(sx) dx = \sqrt{\frac{2}{p}} \int_0^{x_0} \dot{q} \cos(sx) dx = \sqrt{\frac{2}{p}} \frac{\sin(x_0 s)}{s}, \quad (8)$$

отримуємо трансформанту функції температури у просторі зображень Лапласа – Фур'є:

$$\mathcal{Q}(s, p) = \sqrt{\frac{2}{p}} \frac{q_0}{b_t} \frac{1}{\rho + s^2 + b^2} \frac{\dot{q}}{e} + \frac{m}{a} \sum_{k=0}^m \frac{C_k^* k!}{(\rho + b_0^2)^{k+1}} \frac{\ddot{q} \sin(x_0 s)}{s}. \quad (9)$$

Для оберненого переходу від зображень Лапласа – Фур'є температурних полів до косинус-трансформант Фур'є температури розглянемо вплив кожного з розподілів (2)–(5) джерел тепла окремо.

**Режим I:**

$$Q_1(x, t) = Q_0 q(x, x_0) e^{-b_0^2 t}.$$

У цьому випадку з огляду на (7)–(9) зображення Лапласа – Фур'є функцій джерел і температури визначаються рівностями:

$$\mathcal{Q}_1(s, p) = \sqrt{\frac{2}{p}} Q_0 \frac{1}{\rho + b_0^2} \frac{\sin(x_0 s)}{s}, \quad (10)$$

$$\mathcal{Q}_1(s, p) = \sqrt{\frac{2}{p}} \frac{q_0}{b_t} \frac{1}{(\rho + b_0^2)(\rho + s^2 + b^2)} \frac{\sin(x_0 s)}{s}, \quad (11)$$

де  $q_0 = b_t R^2 Q_0 / a_t$ , а  $b_t$  – коефіцієнт температурного лінійного розширення матеріалу оболонки.

Здійснивши в (11) розклад дробу, що містить параметр  $\rho$ , на прості дроби і скориставшись таблицями інтегральних перетворень [1], отримуємо косинус-трансформанту Фур'є температури

$$\mathcal{Q}_1(s, t) = \sqrt{\frac{2}{p}} \frac{q_0}{b_t} e^{-b_0^2 t} \frac{\dot{q}}{e} - e^{-(s^2 + g^2)t} \frac{\ddot{q} \sin(x_0 s)}{\dot{q} s(s^2 + g^2)}, \quad (12)$$

де  $g^2 = b^2 - b_0^2$ .

Виконавши обернення косинус-перетворення Фур'є (12), температуру отримуємо у вигляді добутку зникаючої на нескінченності експоненти і абсолютно збіжного інтеграла:

$$T_1(x, t) = \frac{2q_0}{pb_t} e^{-b_0^2 t} \int_0^{\infty} \frac{\dot{q}}{e} - e^{-(s^2 + g^2)t} \frac{\ddot{q} \sin(x_0 s) \cos(xs)}{\dot{q} s(s^2 + g^2)} ds. \quad (13)$$

Після розкладу підінтегрального дробу за параметром  $s$  на прості дроби температуру  $T_1(x, t)$  подаємо як суму чотирьох інтегралів:

$$T_1(x, t) = \frac{2q_0}{pb_t g^2} e^{-b_0^2 t} (I_1(x) - I_2(x) - I_1^*(x, t) + I_2^*(x, t)). \quad (14)$$

Вирази цих інтегралів відомі [5, 6]:

$$I_1(x) = \int_0^{\infty} \dot{q} \sin(x_0 s) \cos(xs) \frac{ds}{s} = \frac{p}{2} (\operatorname{sgn}(x + x_0) - \operatorname{sgn}(x - x_0)),$$

$$I_2(x) = \int_0^{\infty} \dot{q} \sin(x_0 s) \cos(xs) \frac{s ds}{s^2 + g^2} = \frac{p}{2} \frac{\dot{q}}{e} e^{-g(x+x_0)} - e^{-g|x-x_0|} \frac{\ddot{q}}{\dot{q}},$$

$$I_1^*(x, t) = \int_0^{\infty} e^{-(s^2+g^2)t} \sin(x_0 s) \cos(xs) \frac{ds}{s} = \frac{p}{4} e^{-2g^2 t} (\operatorname{erfc}(x_2) - \operatorname{erfc}(x_1)),$$

$$I_2^*(x, t) = \int_0^{\infty} e^{-(s^2+g^2)t} \sin(x_0 s) \cos(xs) \frac{s ds}{s^2 + g^2} =$$

$$= \frac{p}{8} e^{-2g^2 t} [2(\operatorname{sh} g(x + x_0) - \operatorname{sh} g|x - x_0|) +$$

$$+ \operatorname{erfc}(x_1^*) + \operatorname{erfc}(x_2^*) - \operatorname{erfc}(x_3^*) - \operatorname{erfc}(x_4^*)]. \quad (15)$$

Тут  $\operatorname{erfc}(z) = 1 - F(z)$ ,  $F(z)$  – інтеграл ймовірності,

$$x_1 = \frac{x + x_0}{2\sqrt{t}}, \quad x_2 = \frac{|x - x_0|}{2\sqrt{t}}, \quad x_{1,2}^* = x_1 \pm g\sqrt{t}, \quad x_{3,4}^* = x_2 \pm g\sqrt{t}.$$

Із формули (13) випливає, що найбільшого значення температура вздовж твірної оболонки у будь-який момент часу досягає при  $x = 0$ .

Крім цього, неважко показати, що в довільний момент часу залежна від ширини кільця  $x_0$  температура набуває максимального рівня в точці  $x = 0$  при нескінченному звуженні активної області нагрівання оболонки ( $x_0 \rightarrow 0$ ).

Здійснивши граничні переходи при  $x_0 \rightarrow 0$  у (13), (14) і зберігаючи при цьому сумарну потужність теплових джерел в об'ємі кільця ширини  $x_0$  постійною, тобто прийнявши  $q_0 x_0 = q_0^* = \text{const}$ , отримуємо значення максимального рівня температури в часі:

$$\lim_{x_0 \rightarrow 0} T_1(0, t) = \frac{q_0^*}{b_t g} \frac{e}{e} - (1 - F(g\sqrt{t})) e^{-2g^2 t} \frac{1}{g} e^{-b_0^2 t}. \quad (16)$$

**Режим II:**

$$Q_2(x, t) = Q_0 q(x, x_0) t e^{-b_0^2 t}, \quad b_0 \neq 0.$$

У цьому випадку з огляду на (7) і (8) для функції розподілу теплових джерел (3) у просторі зображень Фур'є – Лапласа маємо такий вираз:

$$\tilde{Q}_2(s, p) = \sqrt{\frac{2}{p}} Q_0 \frac{1}{(p + b_0^2)^2} \frac{\sin(x_0 s)}{s}, \quad (17)$$

а для температурного поля – такий:

$$\tilde{T}_2(s, p) = \sqrt{\frac{2}{p}} \frac{q_0}{b_t} \frac{1}{(p + b_0^2)^2 (p + s^2 + b^2)} \frac{\sin(x_0 s)}{s}. \quad (18)$$

Розклавши у цьому виразі дріб з параметром  $p$  на прості дроби, отримуємо

$$\tilde{T}_2(s, p) = \sqrt{\frac{2}{p}} \frac{q_0}{b_t} \frac{1}{e} \frac{1}{(s^2 + g^2)^2} \frac{1}{e} \frac{1}{p + s^2 + b^2} - \frac{1}{p + b_0^2} \frac{1}{e} +$$

$$+ \frac{1}{s^2 + g^2} \frac{1}{(p + b_0^2)^2} \frac{1}{e} \frac{\sin(x_0 s)}{s}. \quad (19)$$

Після виконання оберненого перетворення Лапласа у (19) і нескладних обчислень для косинус-трансформанти Фур'є від температури маємо

$$\vartheta_2(s, t) = \sqrt{\frac{2}{p}} \frac{q_0}{b_t} e^{-b_0^2 t} \frac{e^{-st}}{s^2 + g^2} - \frac{1}{(s^2 + g^2)^2} \frac{e^{-st}}{s} - e^{-(s^2 + g^2)t} \frac{\ddot{\vartheta} \sin(x_0 s)}{s}. \quad (20)$$

Розклавши у цьому виразі дробі з параметром  $s$  на прості і виконавши обернення косинус-перетворення Фур'є, отримуємо функцію температури

$$T_2(x, t) = \frac{2q_0 e^{-b_0^2 t}}{pb_t g^2} \frac{e^{-st}}{s} - \frac{1}{g^2} \frac{\ddot{\vartheta}}{\vartheta} (I_1(x) - I_2(x)) + \frac{1}{g^2} (I_1^*(x, t) - I_2^*(x, t)) + K_2(x) - K_2^*(x, t) \frac{\dot{\vartheta}}{\vartheta}. \quad (21)$$

Тут через  $K_2(x)$  і  $K_2^*(x, t)$  позначено функції, які виражаються через похідні від відомих (див. (15)) інтегралів  $I_2(x)$  та  $I_2^*(x, t)$ :

$$K_2(x) = \int_0^{\infty} \frac{\sin(x_0 s) \cos(x s)}{(s^2 + g^2)^2} s ds = -\frac{1}{2g} \frac{dI_2(x)}{dg},$$

$$K_2^*(x, t) = \int_0^{\infty} e^{-(s^2 + g^2)t} \frac{\sin(x_0 s) \cos(x s)}{(s^2 + g^2)^2} s ds = -t I_2^*(x, t) - \frac{1}{2g} \frac{dI_2^*(x, t)}{dg}, \quad (22)$$

З виразу (20) і аналогічного до (13) інтеграла, якого тут не наводимо, очевидно, що найвищого рівня температура  $T_2(x, t)$ , як і у випадку I, досягає у точці  $x = 0$  при  $x_0 \geq 0$ :

$$\lim_{x_0 \rightarrow 0} T_2(0, t) = \frac{q_0}{2b_t g^3} \frac{e^{-st}}{s} (1 - F(g\sqrt{t})) \frac{e^{-st}}{s} + e^{-g^2 t} \frac{\ddot{\vartheta}}{\vartheta} e^{-g^2 t} + 2g \sqrt{\frac{t}{p}} e^{-2g^2 t} + 2g^2 t - 1 \frac{\dot{\vartheta}}{\vartheta} e^{-b_0^2 t}. \quad (23)$$

Дію наступних двох джерел тепла розглянемо у поєднанні.

### Режими III, IV

$$Q_{3,4}(x, t) = Q_0 q(x, x_0) \frac{e^{-st}}{s} m e^{-b_0^2 t} \frac{\ddot{\vartheta}}{\vartheta},$$

причому верхній знак відноситься до розподілу джерел (4), а нижній – до розподілу (5).

У цих двох випадках послідовним застосуванням інтегрального перетворення Лапласа і косинус-перетворення Фур'є отримуємо у просторі зображень Лапласа – Фур'є трансформанту функцій джерел тепла:

$$\vartheta_{3,4}(s, p) = \sqrt{\frac{2}{p}} Q_0 \frac{e^{-st}}{s} m \frac{1}{p + b_0^2} \frac{\ddot{\vartheta} \sin(x_0 s)}{s}. \quad (24)$$

Зображення (9) у просторі Лапласа – Фур'є температури після розкладів відповідних до джерел (4) і (5) дробів з параметром  $p$  на прості набувають такої форми:

$$\vartheta_{3,4}(s, p) = \sqrt{\frac{2}{p}} \frac{q_0}{b_t} \frac{e^{-st}}{s^2 + b^2} \frac{e^{-st}}{s} - \frac{1}{p + s^2 + b^2} \frac{\ddot{\vartheta}}{\vartheta} m$$

$$m \frac{1}{s^2 + g^2} \frac{e^{-st}}{s} - \frac{1}{p + s^2 + b^2} \frac{\ddot{\vartheta} \sin(x_0 s)}{s}.$$

Виконавши у цій формулі обернення перетворення Лапласа, користуючись

таблицями інтегральних перетворень [1], для косинус-трансформанти Фур'є від температури отримуємо

$$\begin{aligned} \mathcal{T}_{3,4}(s, t) = & \sqrt{\frac{2}{\rho}} \frac{q_0}{b_t} \frac{1}{s^2 + b^2} \frac{\ddot{\theta}}{\theta} - e^{-(s^2 + b^2)t} \frac{\ddot{\theta}}{\theta} \mathbf{m} \\ & \mathbf{m} \frac{e^{-b_0^2 t}}{s^2 + g^2} \frac{\ddot{\theta}}{\theta} - e^{-(s^2 + g^2)t} \frac{\ddot{\theta}}{\theta} \frac{\sin(x_0 s)}{s}, \end{aligned} \quad (25)$$

а після обернення косинус-перетворення Фур'є і подальшого розкладу підінтегральних дробів з параметром  $s$  на прості приходимо до виразів температурних полів через відомі інтеграли (15):

$$\begin{aligned} T_{3,4}(x, t) = & \frac{2q_0}{\rho b_t} \frac{1}{b^2} (I_1(x) - I_{1b}^*(x, t) - I_{2b}(x) + I_{2b}^*(x, t)) \mathbf{m} \\ & \mathbf{m} \frac{1}{g^2} (I_1(x) - I_1^*(x, t) - I_2(x) + I_2^*(x, t)) e^{-b_0^2 t} \frac{\ddot{\theta}}{\theta}. \end{aligned} \quad (26)$$

При цьому інтеграли з індексами, що містять параметр  $b$ , співпадають з відповідними їм інтегралами з (15), якщо у них параметр  $g$  замінити на  $b$ .

Як і у попередніх випадках розподілів джерел тепла, своїх найбільших значень у часі температура  $T_{3,4}(x, t)$  набуває у точці  $x = 0$  при нескінченному звууженні активної зони нагріву  $x_0 \rightarrow 0$  і подається формулами

$$\begin{aligned} \lim_{x_0 \rightarrow 0} T_{3,4}(0, t) = & \frac{q_0}{b_t} \frac{1}{b} \frac{\ddot{\theta}}{\theta} - (1 - F(b\sqrt{g})) e^{-2b^2 t} \frac{\ddot{\theta}}{\theta} \mathbf{m} \\ & \mathbf{m} \frac{1}{g} \frac{\ddot{\theta}}{\theta} - (1 - F(g\sqrt{t})) e^{-2g^2 t} \frac{\ddot{\theta}}{\theta} e^{-b_0^2 t} \frac{\ddot{\theta}}{\theta}. \end{aligned} \quad (27)$$

Для визначення за відомим температурним полем  $T_j(x, t)$ ,  $j = 1, 2, 3, 4$ , напружено-деформованого стану в оболонці, виготовленій з податливого до зсувів матеріалу, знайдемо функції нормальних прогинів  $W_j(x, t)$  як розв'язки звичайного диференціального рівняння четвертого порядку [7], у якому час  $t$  вважаємо параметром:

$$\begin{aligned} \frac{d^4 W_j}{dx^4} - 2g^2 \frac{d^2 W_j}{dx^2} + 4k^4 W_j(x, t) = & 4k^4 b_t R \frac{\ddot{\theta}}{\theta} T_j(x, t) - e \frac{d^2 T_j}{dx^2} \frac{\ddot{\theta}}{\theta}, \\ & j = 1, 2, 3, 4, \end{aligned} \quad (28)$$

де  $2g^2 = E/(kG)$ ,  $4k^4 = 3(1 - \nu^2)(R/h)^2$ ,  $e = g^2/(2k^4)$ ,  $E$  – модуль Юнга,  $kG$  і  $G$  – коефіцієнт і модуль зсуву,  $\nu$  – коефіцієнт Пуассона,  $b_t$  – коефіцієнт лінійного розширення матеріалу оболонки.

Застосувавши косинус-перетворення Фур'є до рівняння (28) за умови парності та обмеженості функцій прогинів разом з похідними до третього порядку включно (що є наслідком парності та обмеженості температури на осі  $Ox$ ), отримуємо трансформанту Фур'є

$$\mathcal{W}_j(s, t) = 4\sqrt{\frac{2}{\rho}} k^4 R b_t \frac{1 + es^2}{s^4 + 2g^2 s^2 + 4k^4} \mathcal{T}_j(x, t). \quad (29)$$

Функції прогинів  $W_j(x, t)$ ,  $j = 1, 2$ , відповідно до джерел (2) і (3) побудуємо окремо.

**I.** У випадку розподілу джерел тепла (2) з урахуванням зображення Лапласа температурного поля (12) косинус-трансформанта (29) має вигляд

$$W_1(s, t) = 4\sqrt{\frac{2}{p}} k^4 R q_0 e^{-b_0^2 t} \frac{\ddot{\alpha}}{\ddot{\epsilon}} - e^{-(s^2+g^2)t} \frac{\ddot{\alpha}}{\ddot{\epsilon}} \frac{(1+es^2) \sin(x_0 s)}{\ddot{\alpha} s(s^2+g^2)(s^4+2g^2s^2+4k^4)}. \quad (30)$$

Здійснивши розклад раціонального дробу і виконавши обернення косинус-перетворення, отримуємо розв'язок у вигляді добутку зникаючої при  $t \rightarrow 0$  експоненти і лінійної комбінації невластних інтегралів  $I_j(x)$ ,  $I_j^*(x, t)$ :

$$W_1(x, t) = \frac{8k^4 R q_0}{p} e^{-b_0^2 t} \sum_{i=1}^4 C_i (I_i(x) - I_i^*(x, t)), \quad (31)$$

де  $C_1 = \frac{1}{(2gk^2)^2}$ ,  $C_2 = \frac{1}{2} \frac{g^2 g^2 - 2k^4}{(gk^2 m_b^2)^2}$ ,  $C_3 = -\frac{1}{(m_b)^4}$ ,  $C_4 = -\frac{g^2}{4k^4 m_b^4}$  – відмінні від нуля коефіцієнти розкладу на прості дроби (в оригіналі) підінтегрального дробу, а  $m_b^4 = 4k^4 - 2g^2 g^2 + g^4$ .

Зауважимо, що в (31) абсолютно збіжні інтеграли  $I_j(x)$ ,  $I_j^*(x, t)$  для  $i = 1, 2$  є такими, як у (15), а для  $i = 3, 4$  мають такий вигляд (див. [3]):

$$I_3(x) = \int_0^{\infty} \frac{\sin(x_0 s) \cos(xs)}{s^4 + 2g^2 s^2 + 4k^4} s ds, \quad I_4(x) = \int_0^{\infty} \frac{\sin(x_0 s) \cos(xs)}{s^4 + 2g^2 s^2 + 4k^4} s^3 ds,$$

$$I_3^*(x, t) = \int_0^{\infty} e^{-(s^2+g^2)t} \frac{\sin(x_0 s) \cos(xs)}{s^4 + 2g^2 s^2 + 4k^4} s ds,$$

$$I_4^*(x, t) = \int_0^{\infty} e^{-(s^2+g^2)t} \frac{\sin(x_0 s) \cos(xs)}{s^4 + 2g^2 s^2 + 4k^4} s^3 ds.$$

При цьому інтеграли  $I_i^*(x, t)$ ,  $i = 3, 4$ , за незначної податливості матеріалу оболонки до зсувів,  $E/G \ll 0$ , виражаються через інтеграл ймовірності від комплексного аргументу [10].

За формулами [8]

$$N(x, t) = 2Eh \frac{\ddot{\alpha} W(x, t)}{\ddot{\epsilon} R} - b_1 T(x, t) \frac{\ddot{\alpha}}{\ddot{\epsilon}}, \quad (32)$$

$$M(x, t) = \frac{D}{R^2} [2g^2 (W(x, t) - b_1 R T(x, t)) - W_{xx}(x, t)], \quad (33)$$

де  $D = 2Eh^3/3(1 - \nu^2)$  – циліндрична жорсткість оболонки, знаходимо вирази для кільцевих зусиль і згинних моментів:

$$N_1(x, t) = -\frac{4Eh q_0}{p m^4} e^{-b_0^2 t} \sum_{i=1}^4 A_i (I_i(x) - I_i^*(x, t)), \quad (34)$$

$$M_1(x, t) = \frac{2D q_0}{p R m^4} \sum_{i=1}^4 A_i g^2 (I_i(x) - I_i^*(x, t)) - 4k^4 m^4 C_i \frac{1}{x^2} (I_i(x) - I_i^*(x, t)) \frac{\ddot{\alpha}}{\ddot{\epsilon}} e^{-b_0^2 t}. \quad (35)$$

Тут сталі  $A_j$  мають такі значення:

$$A_1 = 0, \quad A_2 = \frac{g^2}{m_b^4}, \quad A_3 = -\frac{4k^4}{m_b^4}, \quad A_4 = -A_2.$$

З порівняння виразів косинус-трансформант Фур'є функції прогинів (30) і функції температури (12) випливає, що залежність від часу обидвох функцій однакова, а отже, і критичне значення параметра часу, коли температура і прогини досягають максимумів, для обидвох функцій є тим самим.

Існування критичних значень параметра часу  $t$  як для температури та прогину, так і для кільцевих зусиль і осьових моментів випливає з розповсюдженої на напівнескінченний інтервал теореми Ролля про неперервні і диференційовні функції, які мають нульове значення при  $t = 0$  і наближаються до нуля при  $t \rightarrow \infty$ .

II. Врахувавши косинус-трансформанту Фур'є температури (20), що відповідає тепловим джерелам (3), отримуємо косинус-трансформанту від функції прогинів:

$$W_2(s, t) = 4\sqrt{\frac{2}{\rho}} k^4 R q_0 \frac{e^{-b_0^2 t}}{s^2 + g^2} \frac{\partial}{\partial t} \cdot \frac{(1 + es^2) \sin(x_0 s)}{s(s^2 + g^2)(s^4 + 2g^2 s^2 + 4k^4)} \dot{u} e^{-b_0^2 t}. \quad (36)$$

Після оберненого перетворення оригінал функції  $W_2(x, t)$  набуває вигляду

$$W_2(x, t) = \frac{8k^4 R q_0}{\rho} e^{-b_0^2 t} \frac{\partial}{\partial t} \cdot \frac{(1 + es^2) \sin(x_0 s) \cos(xs)}{s(s^2 + g^2)(s^4 + 2g^2 s^2 + 4k^4)} ds. \quad (37)$$

Пропускаючи викладки, пов'язані з розкладом раціональних частин двох підінтегральних дробів за параметром  $s$ , один із яких з відомими коефіцієнтами  $C_j$  міститься в інтегралі (30), і розв'язанням відповідної до джерел (3) лінійної системи дев'яти алгебраїчних рівнянь з коефіцієнтами

$$B_1 = \frac{1}{4k^4 g^4}, \quad B_2 = \frac{1}{4k^4} \frac{g^4 - 4k^4}{m^8} - \frac{1}{g^4} \frac{\partial}{\partial t}, \quad B_4 = \frac{g^2 g^2 - 2k^4}{2k^4 g^2 m^4},$$

$$B_6 = \frac{4k^4 - g^4}{4k^4 m^8}, \quad B_8 = \frac{2(g^2 - g^2)}{m^8}, \quad B_3 = B_5 = B_7 = B_9 = 0,$$

з (37) отримуємо функцію прогинів:

$$W_2(x, t) = \frac{8k^4 R q_0}{\rho} e^{-b_0^2 t} \frac{\partial}{\partial t} \left[ (C_1 t - B_1) I_1(x) + (C_2 t - B_2) I_2(x) + (C_3 t - B_3) \right. \\ \left. I_3(x) - (C_4 t - B_4) \frac{I_3^2(x)}{I_1^2(x_0)} - B_4 \frac{I_2(x)}{I_1^2(x_0)} + B_1 I_1^*(x, t) - (B_4 t - B_2) \right. \\ \left. I_2^*(x, t) + B_8 I_3^*(x, t) + B_4 \frac{I_2^*(x, t)}{I_1^2(x_0)} - B_6 \frac{I_3^*(x, t)}{I_1^2(x_0)} \right] \dot{u}. \quad (38)$$

Зусилля (32) і моменти (33) визначаються за формулами:

$$N_2(x, t) = \frac{4Eh q_0 e^{-b_0^2 t}}{\rho} \frac{\partial}{\partial t} \left[ \frac{g^2 t - 1}{m^4} \frac{\partial}{\partial t} I_2(x) - \frac{4k^4}{g^2} I_3(x) + \frac{1}{4k^4} \frac{I_3^2(x)}{I_1^2(x_0)} \frac{\partial}{\partial t} + \right. \\ \left. + \frac{1}{4k^4 g^4} \frac{\partial}{\partial t} \frac{I_2(x)}{I_1^2(x_0)} + I_1^*(x, t) + \frac{m^4 t + g^2}{m^4} I_2^*(x, t) - \frac{I_2^*(x, t)}{I_1^2(x_0)} \frac{\partial}{\partial t} + \right]$$



$$\begin{aligned}
& + \frac{1}{4k^4 m^4} \frac{\partial}{\partial t} (g^2 - 2g^2) I_3^*(x, t) + \frac{\mathbb{I}^2 I_3^*(x, t)}{\mathbb{I} x_0^2} \frac{\partial}{\partial t} - \\
& - \frac{1}{g^4} (I_1^*(x, t) - I_2^*(x, t) - g^2 I_3^*(x, t)) \dot{u}, \quad (39)
\end{aligned}$$

$$M_2(x, t) = \frac{D}{R} \frac{\partial}{\partial t} \frac{g^2}{Eh} N_2(x, t) - \frac{1}{R} \frac{\mathbb{I}^2 W_2(x, t)}{\mathbb{I} x^2} \dot{u}. \quad (40)$$

Оскільки  $I_i^*(x, 0) = I_i(x)$ ,  $i = 1, 2, 3$ , то з формули для функції прогину (38) випливає, що у початковий момент часу прогини в оболонці відсутні. Так само очевидним є наближення до нуля усіх розрахункових величин при  $t \rightarrow 0$  з огляду на наявність експоненційного множника у формулах (38)–(40). Отже, в інтервалі  $t \in [0, \infty)$  існують критичні значення параметра часу  $t$ , при яких прогини, зусилля і моменти в оболонці досягають максимальних рівнів. При цьому слід зауважити, що ці критичні значення для прогину і зусиль, а також моментів, взагалі кажучи, є різними.

**III–IV.** Як і при побудові температурних полів, вплив теплових джерел (4) і (5) на термопружні процеси в оболонці дослідимо для обох розподілів разом.

Здійснивши косинус-перетворення Фур'є рівняння (28) за умови відсутності прогину та його похідних на нескінченності ( $x \rightarrow \infty$ ) з урахуванням косинус-трансформант Фур'є (25) від функцій температури, після оберненого перетворення отримуємо

$$\begin{aligned}
W_{3,4}(x, t) = & \frac{8k^4 R q_0}{\rho} \frac{\partial}{\partial t} \frac{1 - e^{-(s^2 + b^2)t}}{s^2 + b^2} \mathbf{m} \frac{1 - e^{-(s^2 + g^2)t}}{s^2 + g^2} e^{-b_0^2 t} \dot{u} \cdot \\
& \cdot \frac{(1 + es^2) \sin(x_0 s) \cos(xs)}{s(s^4 + 2g^2 s^2 + 4k^4)} ds. \quad (41)
\end{aligned}$$

Після аналогічного до попередніх випадків розкладу підінтегральних дробів на прості дроби за параметром  $s$  у кінцевому вигляді дістаємо

$$W_{3,4}(x, t) = \frac{1}{8\rho} k^4 R q_0 \frac{\partial}{\partial t} \sum_{j=1}^4 C_{j_b} (I_{j_b}(x) - I_{j_b}^*(x, t)) \mathbf{m} C_j (I_j(x) - I_j^*(x, t)) e^{-b_0^2 t} \dot{u}, \quad (42)$$

де коефіцієнти  $C_{j_b} = C_j$ , якщо у наведених вище виразах для  $C_j$  (див. (31)) для прогину  $W_1(x, t)$  параметр  $g$  замінити на  $b$ .

З (42) випливає, що зумовлені джерелами (4) і (5) прогини  $W_{3,4}(x, t)$  при  $b_0 \rightarrow 0$  співпадають і відповідають дії теплових джерел у режимі функції одиничного стрибка Гевісайда. Таке ж співпадіння прогинів має місце і в асимптотичному режимі дії джерел (4) і (5) при  $t \rightarrow \infty$ .

Кільцеві зусилля і осьові моменти визначаємо за формулами (32), (33):

$$\begin{aligned}
N_{3,4}(x, t) = & \frac{4Eh q_0}{\rho} \frac{\partial}{\partial t} \sum_{i=1}^4 (4k^4 C_{j_b} - b^{-2}) (I_{j_b}(x) - I_{j_b}^*(x, t)) \mathbf{m} \\
& \mathbf{m} (4k^4 C_j - g^{-2}) (I_i(x) - I_i^*(x, t)) e^{-b_0^2 t} \dot{u}, \quad (43)
\end{aligned}$$

$$M_{3,4}(x, t) = \frac{D}{R^2} \frac{\partial}{\partial t} \frac{g^2 R}{Eh} N_{3,4}(x, t) - \frac{\mathbb{I}^2 W_{3,4}(x, t)}{\mathbb{I} x^2} \dot{u}. \quad (44)$$

Оскільки  $\lim_{t \rightarrow \infty} I_i^*(x, t) = \lim_{t \rightarrow \infty} I_{ib}^*(x, t) = 0$ , то в асимптотичному режимі нагрівання внаслідок ідентичності теплових джерел (4) і (5) при  $t \rightarrow \infty$  прогини, зусилля і моменти подаються спільними для вказаних джерел рівностями:

$$\lim_{t \rightarrow \infty} W_{3,4}(x, t) = \frac{8k^4 R q_0}{\rho} \sum_{i=1}^4 C_{ib} I_{ib}(x), \quad (45)$$

$$\lim_{t \rightarrow \infty} N_{3,4}(x, t) = \frac{4Eh q_0}{\rho} \sum_{i=1}^4 k^4 C_{ib} - \frac{1}{b^2} \frac{\partial}{\partial x} I_{ib}(x), \quad (46)$$

$$\lim_{t \rightarrow \infty} M_{3,4}(x, t) = \frac{4D q_0}{\rho R} \sum_{i=1}^4 \frac{a_i^2}{e m^4} A_i - 2k^2 C_{ib} \frac{d^2}{dx^2} I_{ib}(x). \quad (47)$$

Однак, якщо у випадку джерел тепла (4) асимптотичні вирази (45)–(47) визначають максимальні прогини, зусилля та моменти у поперечних перерізах оболонки при  $t \rightarrow \infty$ , то у випадку дії джерел (5) ці розрахункові величини, як і температура (37), набувають максимальних рівнів за скінченних і, взагалі кажучи, різних моментів часу.

На рис. 1 наведено зміну в часі відносної температури  $T_j^*(0, t) = \frac{b_0}{q_0} T_j(0, t)$ ,  $j = 1, 2, 3, 4$  (тут  $q_0^* = 2b^2 E h q_0$ ) на напрямній оболонки  $x = 0$  і відповідних їм відносних кільцевих зусиль  $10N_j^*(0, t) = -\frac{N_j(0, t)}{2Eh q_0^*}$ , зумовлених тепловими джерелами (2)–(5) (режими I–IV) зі змінною потужністю  $Q_j(0, t)$ , початкове значення якої  $Q_0^* = Q_0 x_0 = \text{const}$ , при нескінченному звуженні активної області нагрівання ( $x_0 \rightarrow 0$ ). Кривих зміни у часі відносних згинних моментів  $10^2 M_j^*(0, t) = \frac{M_j(0, t)}{2Eh R q_0^*}$  не наводимо через якісну близькість їх конфігурації до відповідних їм кривих стискуючих кільцевих зусиль  $10N_j^*(0, t)$ .

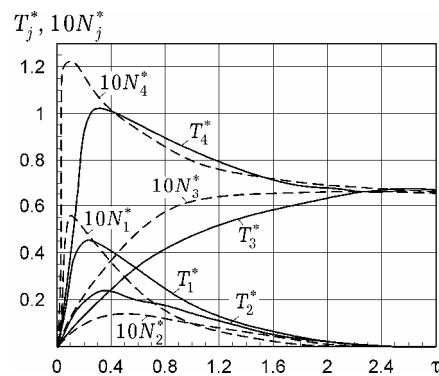


Рис. 1

Криві залежностей температури і зусиль від часу побудовано для значення  $b_0/b = 0.86$  – відношення коефіцієнта згасання теплових джерел  $b_0$  до узагальненого коефіцієнта теплопровідності-тепловіддачі  $b$ . Випадок їх рівності і поведінку розрахункових величин при зближенні значень  $b_0$  і  $b$  досліджено авторами в [11], де показано, що при  $b_0/b = 1$  критичні значення

параметра часу  $t$  для функцій температури (і прогинів), а також кільцевих зусиль (і осьових моментів) мало відрізняються від розглянутого випадку  $b_0/b = 0.86$ . Однак зазначимо, що зі зближенням коефіцієнтів  $b_0$  і  $b$  рівень розрахункових величин дещо знижується.

Обчислення кільцевих зусиль і осьових моментів виконано для класичної моделі деформування оболонки:  $E/G\zeta=0$ . Вплив зсувного фактора на термомпружну поведінку оболонки детально досліджено авторами в роботі [7].

Числовий аналіз свідчить, що найвищі рівні зусиль і моментів у випадках розподілів джерел тепла (2), (3), (5) (режими I, II, III) досягаються дещо раніше від критичних значень часу, яким відповідають максимальні рівні температури і прогину, що дозволяє розраховувати оболонку на міцність за силовими критеріями.

Окремо слід зазначити, що числовий аналіз розв'язків аналогічних задач [4, 11] для оболонки скінченної довжини  $l$  (1<sup>3</sup> 2) і отриманих у цій роботі розв'язків для нескінченно довгої оболонки свідчать про те, що максимальні рівні розрахункових величин при дії ідентичних джерел тепла досягаються для обидвох оболонок у практично однакові моменти часу.

Зауважимо, крім цього, що зміна у часі температур, прогинів, зусиль і моментів поблизу торця оболонки  $x = 0$  при нескінченному звуженні активної області нагрівання  $x_0 \rightarrow 0$  відбувається без помітних числових розбіжностей як для нескінченно довгої, так і для короткої (1<sup>3</sup> 2) оболонок.

Ці висновки дозволяють проводити числові розрахунки термомпружного стану нескінченно довгої оболонки у довільній точці твірної  $(x, t)$  на основі відповідних розв'язків [11] для оболонки скінченної довжини, і тим самим уникнути суттєвих незручностей при обчисленнях з використанням таблиць інтегралів ймовірності від комплексного аргументу.

1. Бейтмен Г., Эрдейи А. Таблицы интегральных преобразований. – Т. 1. – Преобразование Фурье, Лапласа, Меллина. – Москва: Наука, 1969. – 343 с.
2. Болотин В. В. Уравнения нестационарных температурных полей в тонких оболочках при наличии источников тепла // Прикл. математика и механика. – 1960. – 24, № 2. – С. 361–363.  
Те саме: Bolotin V. V. Equations for the non-stationary temperature fields in thin shells in the presence of sources of heat // J. Appl. Math. Mech. – 1960. – 24, No. 2. – P. 515–519. – [https://doi.org/10.1016/0021-8928\(60\)90053-8](https://doi.org/10.1016/0021-8928(60)90053-8).
3. Ганулич В. К., Максимук О. В., Ганулич Н. В. Квазистатична задача термомпружності для циліндричної оболонки із джерелами тепла і тепловіддачею // Мат. методи та фіз.-мех. поля. – 2015. – 58, № 1. – С. 154–161.  
Те саме: Hanulich V. K., Maksymuk O. V., Hanulich N. V. Quasistatic problem of thermoelasticity for a cylindrical shell with heat sources and heat exchange // J. Math. Sci. – 2017 – 222, No. 2. – P. 194–204. – <https://doi.org/10.1007/s10958-017-3292-9>.
4. Ганулич Н. В. Циліндрична оболонка скінченної довжини із низькою зсувною жорсткістю за дії локальних джерел тепла // Мат. методи та фіз.-мех. поля. – 2016. – 59, № 4. – С. 82–90.  
Те саме: Hanulich N. V. Cylindrical shell of finite length with low shear stiffness under the action of local heat sources // J. Math. Sci. – 2019. – 238, No. 2. – P. 97–20. – <https://doi.org/10.1007/s10958-019-04220-1>.
5. Градштейн И. С., Рыжик И. М. Таблицы интегралов, сумм, рядов и произведений. – Москва: Наука, 1971. – 1108 с.
6. Двайт Г. Б. Таблицы интегралов и другие математические формулы. – Москва: Наука, 1973. – 228 с.
7. Максимук О. В., Ганулич Н. В. Термомпружність циліндричної оболонки із низькою зсувною жорсткістю у локальному температурному полі // Мат. методи та фіз.-мех. поля. – 2015. – 58, № 3. – С. 26–34.  
Те саме: Maksymuk A. V., Hanulich N. V. Thermoelasticity of a cylindrical shell with low shear stiffness in a local temperature field // J. Math. Sci. – 2017. – 226, No. 1. – P. 28–40. – <https://doi.org/10.1007/s10958-017-3516-z>.

8. Пелех Б. Л. Теория оболочек с конечной сдвиговой жесткостью. – Киев: Наук. думка, 1973. – 248 с.
9. Прудников А. П., Брычков Ю. А., Маричев О. И. Интегралы и ряды. Специальные функции. – Москва: Наука, 1983. – 752 с.
10. Фаддеева В. Н., Терентьев Н. М. Таблицы значений интеграла вероятностей от комплексного аргумента. – Москва–Ленинград: Гостехтеоретиздат, 1954. – 268 с.
11. Maksymuk O., Ganulich N. On the calculation of thermoelastic processes in a cylindrical shell with local heat sources // Math. Model. Comput. – 2017. – 4, No. 2. – P. 162–170. – <https://doi.org/10.23939/mmc2017.02.162>.

**ТЕРМОУПРУГОЕ ПОВЕДЕНИЕ ПОДАТЛИВОЙ СДВИГАМ  
БЕСКОНЕЧНО ДЛИННОЙ ЦИЛИНДРИЧЕСКОЙ ОБОЛОЧКИ ПОД ВОЗДЕЙСТВИЕМ  
ИСТОЧНИКОВ ТЕПЛА ПЕРЕМЕННОЙ МОЩНОСТИ**

*Решена квазистатическая задача термоупругости для бесконечно длинной цилиндрической оболочки, изготовленной из материала с низкой сдвиговой жесткостью. Оболочка подвержена воздействию локальных тепловых источников переменной во времени мощности. Выполнен числовой анализ температурных полей, кольцевых усилий и осевых моментов для ряда практически важных режимов нагрева оболочки.*

**Ключевые слова:** цилиндрическая оболочка, режимы нагрева, температурное поле, гипотеза Тимошенко, прогибы, усилия, критические значения времени.

**THERMOELASTIC BEHAVIOR OF INFINITE LONG  
CYLINDRICAL SHELL COMPLIANT TO SHEARS UNDER THE ACTION  
OF HEAT SOURCES OF VARIABLE POWER**

*The quasistatic problem of thermoelasticity for an infinitely long cylindrical shell made of a material with low shear stiffness is solved. The shell is subjected to action of the local heat sources with a time-varying power. A numerical analysis of temperature fields, ring forces, and axial moments is carried out for a number of practically important shell heating modes.*

**Key words:** cylindrical shell, heating modes, temperature field, Timoshenko's hypothesis, deflections, forces, time critical values.

<sup>1</sup> Львів. нац. ун-т ім. І. Франка, Львів,

<sup>2</sup> Ін-т прикл. проблем механіки і математики  
ім. Я. С. Підстригача НАН України, Львів